

論文

高 에너지 電子線 治療時 體內 空洞으로 因한 線量分布의 變動

秋成實·李道行·崔炳肅

延世大學校 醫科大學 放射線科學教室

(1976年3月31日接受)

I. 緒論

高 에너지 電子線이 均一한 組織內에 照射될 때 Build up 現象이 表面으로 부터 크게 增加하고 一定한 深部에 서 線量分布가 急速히 減少하므로 肿瘍部位에 集中 照射가 可能하고 健康 組織에 損傷을 줄이는 等의 長點을 지니고 있으나 組織內에 작은 空洞이 存在할 慣遇 X 혹은 γ -線과 같은 光子線의 照射와는 달리 그 深部 線量分布는 相當히 變化하여 線量計劃에 많은 差跌을 招來하게 된다.

이와 같은 現象은 電子線과 被 照射物質間의 散亂反應이 보다 크게 作用함으로서 空洞 壁으로부터 内部로 的 散亂이 더욱 增大되고 入射線 對應편에 位置한 空洞周圍의 線量이 急激히 增加됨으로 空洞內에는 線量集中效果가 나타나게 된다.

人體組織內에는 口腔, 頭部, 上頸洞 및 胸部等 크고
작은 數拾個의 空洞이 있고 空洞周圍에는 多은 軟組織
과 粘膜들이 있으며 이들에 對한 集中線量增加 現象은
放射線治療에서 無視할 수 없다.

이와 같은 線量增加 現象은 지금까지 여러 學者들로 하여금 甚한 臨床反應을 感知케 하였으며 특히 頭頸部와 胸部에 位置한 肿瘍治療에서 大은 疑心을 갖게 되어直接 動物 生體實驗을 하거나 뼈, 腸 等을 組織 等價 phantom에 插入하고 線量 變動을 觀察하니 있다.

그러나 電子線의 線量變化는 空洞의 크기와 模樣 및
照射 에너지等에 依한 複雜한 函數關係를 이루고 있으
므로 一括性있는 研究 調査와 量의인 測定은 거의 없었
으며 測定 誤差 역시 基本하였다.

延世癌센터에서는數年間電子線을腫瘍治療에適用하면서體內空洞에依한深部線量分布의變動을確實하고體系的に變動事項을記錄하기爲해서口腔、頸部

부, 上頸洞 및 胸部等 體內에 散在한 空洞의 크기와 비슷한 空洞을 製作하고 線型 加速器에서 發生되는 10~12MeV의 電子線을 照射하여 空洞의 크기, 位置 및 照射 에너지에 따른 深部 線量分布 變化를 見る 또는 精密한 測定器로 測定한 後 이를 一貫性있게 整理하여 使用함으로서 實際 電子線 治療 計劃에相當한 도움을 줄 수 있었다.

I. 線量分布 變化의 基本 要素

1. 電子線의 散亂

線型 加速器에서 加速된 高 에너지 電子線이 一定한
에너지로 分離放出되어 被 照射物質에 衝突할 景遇彈
性 또는 非彈性 散亂現象이 일어나며 이는 光子線에 比
해相當히 크다.

高 에너지 電子線과 質量이 큰 物質은 原子核 周圍의 電磁場과 入射電子의 電磁場과의 相互作用으로 大部分의 電子는 彈性散亂을 하게되고 物質의 두께에 따라 單一 散亂 또는 多重散亂으로 區分되며 이들의 理論式은相當히 複雜하지만 組織과 空洞으로 因한 散亂단을 生覺한다던 衝突에 依한 多重散亂 公式이 가장 近似值가 될 것이다.

지금 衝突에 依한 散亂角 θ 를 統計的 散布度에相當 하는 平均 自乘 散亂角 $\bar{\theta}^2$ 를 表示하니

이여 t 는 g/cm^2 로 表示한 物質의 두께이고 E 는 入射 電子의 에너지, N 는 1cm^3 중의 原子數이며 K_1 는 比例 常數이다.

① 式에서 物質의 두께를 d (cm), 入射電子 에너지 E (MeV), 原子番號 Z 및 密度 ρ 와의 關係를 近似式으로 表示하니

$$\bar{\theta}^2 = K_2 \frac{Z^2}{E^2} \rho d \dots \dots \textcircled{2}$$

가 되며 $\bar{\theta}^2$ 는 原子番號와 密度 및 깊이에 比例하고 에너지에 反比例한다. 即 에너지가 즐수록 進行方向으로 散亂이 많이 일어나고 密度가 즐수록 側方으로 많은 散亂을 하게 된다.

또한 散亂强度는 電子와 物質間의 彈性衝突에 依存하며 此衝突 確率强度 E_c 는 다음과 같다.

$$E_c = K_3 \frac{Z}{A} \rho \log E \dots \dots \textcircled{3}$$

여기서 A 는 質量數이며 E 는 入射電子의 에너지이다.

即 散亂强度는 主로 入射電子의 에너지와 物質의 密度에 依存되고 있다.

2. 電子線의 飛程距離

電子線은 物質에 對한 衝突과 散亂作用으로 周圍組織에 大한 電離能과 有限한 飛程距離를 갖게 된다.

그러므로 電子線의 線量分布는 一定 깊이까지 거의 均一한 分布를 이루고 飛程의 끝部分에서는 急激한 線量減少現象이 나타나며 組織內에 完全히 吸收되어 버린다.

電子線의 最大飛程距離 R 는 放射線臨床治療뿐 아

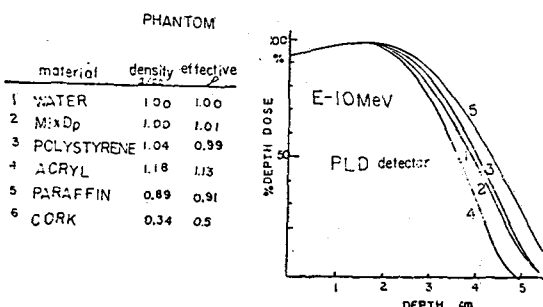


Fig. 1. Comparison of tissue equivalent phantom and depth ionization curves obtained for different phantom materials at 10MeV electron beam, FS 10×10cm.

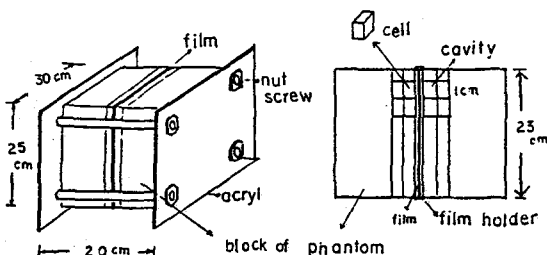


Fig. 2. Schematic view of the assemblage of phantom. The screws are tightened to reproducible pressure by mean of a moment key.

나라 物理學에서도 重要한 位置를 차지하고 있으며 이는 다음式으로 주어진다.

$$R=0.51E-0.26 \dots \dots \textcircled{4}$$

여기서 E 는 MeV로 表示한 電子線의 에너지 數值이고 最大飛程距離인 R 의 單位는 g/cm²이며 特定物質에 對한 飛程距離(cm)는 그 物質의 密度 ρ 로 除한 값으로 表示된다. 이식에서 10MeV의 電子線은 $\rho=1$ 인 組織內에서 約 5cm의 最大飛程距離를 가졌으나 空氣中에서는 $\rho=0.0013$ 으로서 거의 無限大가 되지만 距離逆自乘 法則의 影響을 받게 된다.

III. 測定方法

1. 組織等價phantom의 製作

本實驗의 正確性을 기하기 為하여 組織等價物質로 製作된 phantom을 使用하여야 하며 그 중 물은 密度 $\rho=1$ 이고 高에너지 電子線에 對한 實効密度 역시 $\rho_{eff}=1.01$ 으로 가장 좋은 等價物質이다.

그러나 phantom內에 크기의 模樣이 다른 空洞을 包含시켜야 하며 필름을 비롯한 여러 種類의 測定器를 固定시켜야 하므로 組織과 가장 近似한 等價이고 固形인 phantom이 絶對必要하다.

지금까지 使用한 固形 phantom은 主로 파라핀, 폴리스틸렌 및 아크릴, 파라핀, 폴리에칠렌, 송진 等을 混合한 Mix Dp 등이며 그중 Mix Dp는 密度 $\rho=1$ 이고 實効密度 $\rho_{eff}=1.01$ 이며 폴리스틸렌은 密度 $\rho=1.04$ 이고 $\rho_{eff}=0.99$ 로서 가장 適當한 近似值를 가진 phantom이다.

그림 1은 人體組織과 거의 等價인 phantom들로서 그들의 密度와 高エネルギー 電子線에 對한 實効密度를 表示한 것이다. 右편은 電子線 10MeV에서 이들의 深部百分率를 TLD로 測定한 것이다. 여기서 각각 phantom에 依한 主線束의 深部率은多少 差異를 나타내며 그중 물과 비슷한 深部率을 가진 phantom은 Mix Dp와 폴리스틸렌이며 파라핀에서의 飛程距離는 물에서 보다 더 길고 아크릴에서는 보다 짧다.

그러므로 本實驗은 比較的 물과 等價인 Mix Dp와 폴리스틸렌을 電子線에 對한 組織等價 固形物質로 使用하였다.

phantom은 그림 2와 같이 길이가 가로, 세로 각각 30, 25cm이고 두께가 1cm인 四角板을 20枚 포갠 후 나사 죠임쇠를 裝置하였으며 空洞은 phantom中心附近을 작은 6角 기둥으로 絶斷하여 適當히 組立하므로 空洞의 크기와 形態를任意로 調節할 수 있다.

線量測定用 필름과 测定器는 phantom의 죄임쇠를
풀어서 電子線束 center에 平行히 插入한 後 空間效果를
除去하기 위하여 죄임쇠를 强하게 죄일 수 있게 하였으
며 두께가 다른 여러 개의 build up 板을 별도로 準備하
여 phantom 위에 附着시킨도록 하였다.

이와 같이 完全組立된 phantom은 加速器의 電子線
遮蔽筒 밀면과 一致하고 空洞의 中心와 film 및 测定器
의 中心은 恒常 電子線束 center에 位置하도록 調節하였다.

2. 测定装置

電子線發生裝置는 日本 Toshiba 製 LMR-13의 traveling wave型 Linear accelerator로서 適正電子線加
速에너지는 8~12MeV이며 0.2mmPb의 scatter foil
을通過한 電子線의 出力線量은 分當 400~600R이고 焦
點과 皮膚間의 距離는 대개 90cm, 最大 照射面은 15×

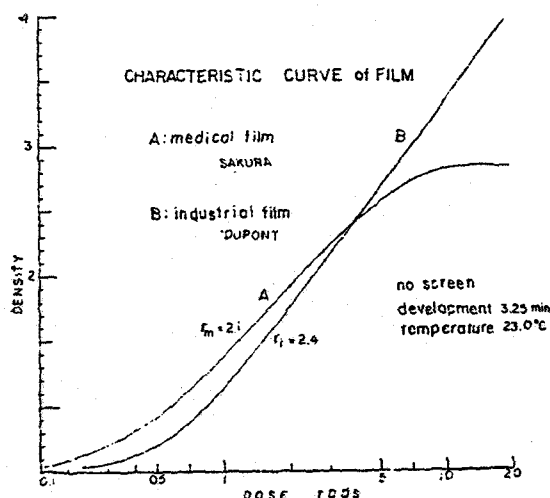


Fig. 3. Characteristic curve obtained with medical and industrial film exposed in polystyrene phantom, development 3.25min temperature 23.0°C.

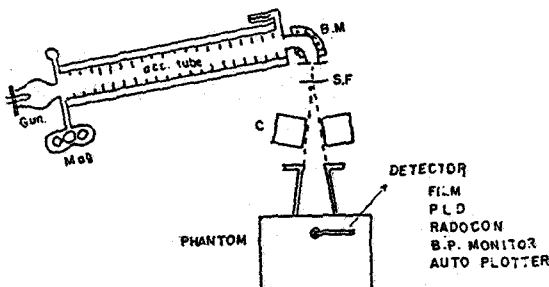


Fig. 4. Schematic diagram of the experimental apparatus.

15cm²이며 出力의 平坦度와 安定度의 誤差는 ±3% 以
內로 調節되어 있다.

空洞에 依한 線量分布는 主로 工業用 film을 使用한
film dosimetry와 小形 detector를 利用한 矯正 测定
으로서 作圖하였다.

10"×12"의 工業用 필름(Dupont 製)을 1mm 두께의
cardboard holder로서 遮光하여 그림 2와 같이 該當
phantom 내에 密着시킨 後 電子線 에너지에 따라 5~
20R 씩 一定線量을 照射하였다.

感光된 film은 自動現像器(Sakura 製)에 依해서 同
一한 條件(23°C, 3.25分)으로 現像, 定着함으로서 照射
量에 對한 一律의 黑化度를 얻을 수 있었다.

黑化된 필름의 露出率은 Volta 製 502A型 densito-
meter에 依해서 测定하고 이것을 深部百分率로 換算하
였다.

그림 3은 工業用과 醫療用 필름에 對한 露出線量과
黑化度의 關係를 나타내는 필름 特性曲線으로서 工業用
필름이 醫療用 보다 貫通度가 크고(7rads에서 20rads
까지 直線關係를 이룸) 필름 감마도 더 크기 때문에 本
實驗에서는 Dupont 製 工業用 필름을 使用하여 比較的
容易하고 正確한 線量分布를 测定할 수 있었다.

그 外에 使用한 测定器는 Victoreen 製 Radocon II
detector와 體積이 적은 555-1001C ionization chamber
또는 1mmφ, 6mm 인 Fluoro glass dosimeter等이며
이들을 phantom 내에 插入하여 線量을 测定한 後 全體
의 線量分布를 矯正하였다.

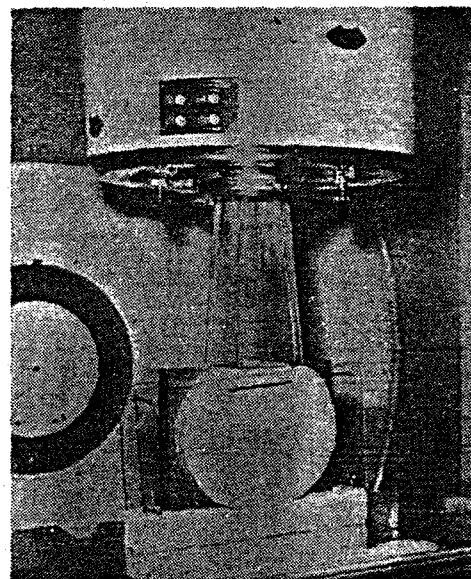


Fig. 5. Demonstration for set-up of phantom with LINAC unit.

測定裝置는 그림 4와 같이電子線의遮蔽筒과 phantom面이接觸되도록距離를調整하고插入된필름과測定器의位置는電子線의主線束內에固定시킨後 LINAC으로부터該當電子線을放出照射시킬수 있도록裝置하였다.

그림 5는 LINAC室內에서 Mix D_p phantom에工業用필름을插入한後照射面 $10 \times 10\text{cm}^2$ 인아크릴遮蔽筒을通하여 10MeV의電子線을15rads照射하고 있는光景이다.

IV. 測定結果

組織內空洞으로因한線量分布는 build-up 두께(0.5~2cm)와空洞의크기(가로세로가0.5~5cm 깊이가1~3cm인六面體)및電子線에너지(8~12MeV)의變化에따라필름과測定器에依해서決定하였다.

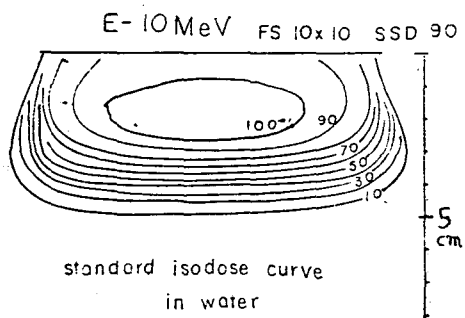


Fig. 6. Standard isodose curves obtained with a 10 MeV electron beam, field size $10 \times 10\text{cm}$, SSD 90cm, in water.

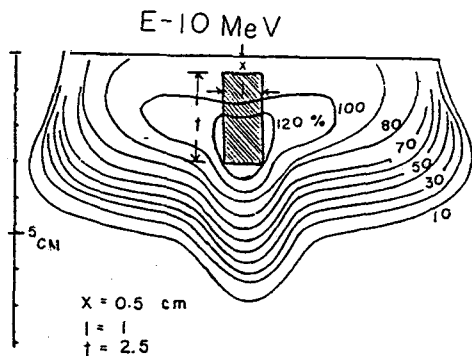


Fig. 7. Isodose curves for E (energy of incident electrons) = 10 MeV, x (thickness of build-up layer) = 0.5 cm, l (length of air cavity) = 1 cm, and t (thickness of air cavity) = 2.5 cm.

等量曲線의 100%地點은 필름中心에서 옆으로 3cm이고깊이가에너지에따른最大build-up地點(8, 10, 12MeV에對하여各各表面下 1.5, 2.0, 2.5cm)으로定하였으며各曲線은 10%增加量을表示하였다.

空洞의線量分布率은均一한phantom의線量分布와空洞의存在로因한同一한地點의線量增加量을百分率로表示하였다.

그림 6은均一한組織內에서의10MeV電子線照射野 $10 \times 10\text{cm}^2$ 에依한標準等量曲線의分布로서最大buildup이表面下 2cm内外에서形成되어약 3cm깊이에서부터線量은急速히減少하여約5cm內에完全吸收되어버린다.

그러나均一한組織內에build-up두께 $x\text{ cm}$, 깊이 $t\text{ cm}$, 한邊의길이 $l\text{ cm}$ 인空洞이있을때標準等量曲線은에너지에따라各各相異한形態로變化한다.

그림 7은電子線10MeV, build-up두께가0.5cm,空洞의크기가 $1 \times 1 \times 2.5\text{cm}^3$ 에對한等量曲線을表示한것이다.

線量分布의最高地點은空洞內에位置하며最大飛

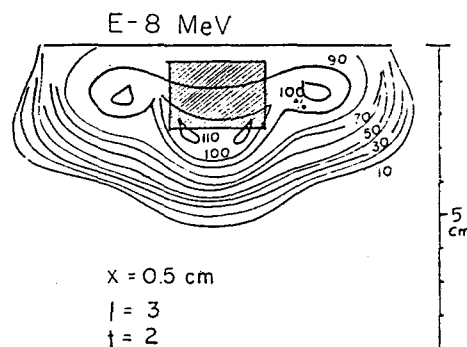


Fig. 8. Isodose curves for $E=8\text{ MeV}$, $x=0.5\text{ cm}$, $l=3\text{ cm}$, and $t=2\text{ cm}$.

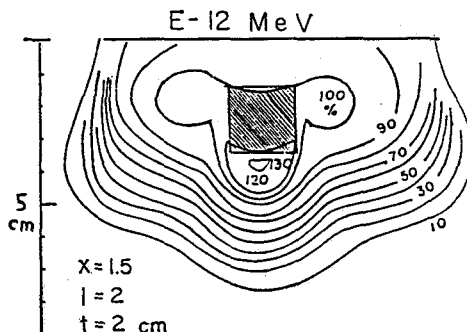


Fig. 9. Isodose curves for $E=12\text{ MeV}$, $x=1.5\text{ cm}$, $l=2\text{ cm}$, and $t=2\text{ cm}$.

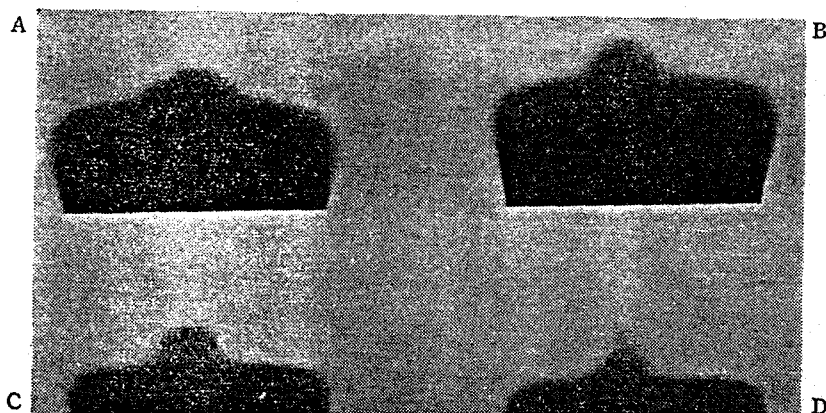


Fig. 10. Industrial film exposed with electron beam, FS $10 \times 10\text{cm}$, SSD 90cm,
 A: $E=10\text{MeV}$, $x=1\text{cm}$ $l=1.5\text{cm}$ $t=3\text{cm}$
 B: $E=10\text{MeV}$, $x=1.5\text{cm}$ $l=2\text{cm}$ $t=2\text{cm}$
 C: $E=12\text{MeV}$, $x=1\text{cm}$ $l=1.5\text{cm}$ $t=3\text{cm}$
 D: $E=12\text{MeV}$, $x=1.5\text{cm}$ $l=2\text{cm}$ $t=2\text{cm}$

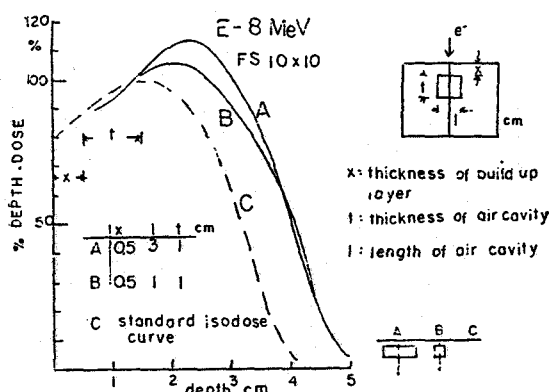


Fig. 11. Perturbation of percentage depth dose in electron central beam with $E=8\text{MeV}$, FS $10 \times 10\text{cm}$, $x=0.5\text{cm}$ $t=1\text{cm}$ for variation of air cavity length.
 curve A: $l=3\text{cm}$
 curve B: $l=1\text{cm}$
 curve C: without cavity.

程距離도 約 2cm 延長되었다.

그림 8과 9는 각각 8, 12MeV의 電子線을 該當 크기의 空洞에 照射하였을 때의 等量曲線 分布이며 이때 最大點은 空洞 바로 아래쪽이고 最大 線量은 각각 10% 및 30% 增加하였으며 最大 飛程距離도 約 2cm 延長되었다.

그림 10의 electrongraph는 10MeV와 12MeV 電子線을 각각 表面下 1cm와 1.5cm에서 空洞의 크기가 $1.5 \times 1.5 \times 3$ 과 $2 \times 2 \times 2\text{cm}^3$ 일 때의 線量分布를 工業用 필름에 感光시킨 것이다.

여기서 空洞周圍에 黑化度가 增加하였고 最大 飛程距

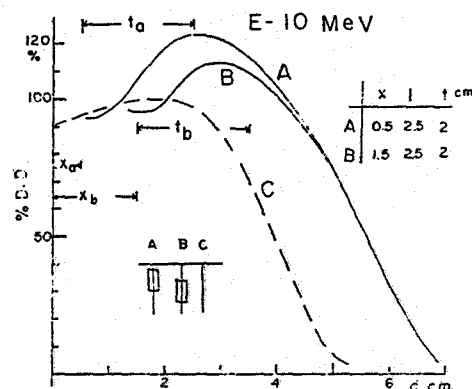


Fig. 12. Perturbation of depth dose with 10MeV electron, FS $10 \times 10\text{cm}$, $l=2.5\text{cm}$, $t=2\text{cm}$, for variation of build-up layer.
 A: $x=0.5\text{cm}$ B: $x=1.5\text{cm}$
 C: without cavity

離가 延長된 것을 볼 수 있으며 正確한 量은 densitometer에 依해서 測定된다.

以上과 같이 build-up 두께와 空洞의 크기를 變化시키면서 그 線量分布를 測定하고 이들에 對한 中心線束의 深部 百分率을 総合하였다.

그림 11은 電子線 8MeV 에너지와 照射面 $10 \times 10\text{cm}^2$ 에서 曲線 A와 B는 表面下 0.5cm에 位置한 空洞의 두께가 1cm이고 四方의 길이가 각각 3cm, 1cm 일때의 深部 百分率로서 空洞이 없을 때의 深部 百分率 C曲線 보다 最大 線量이 각각 15% 및 10% 씩 上昇하였고 飛程距離가 約 1cm 延長되었다.

그림 12는 10MeV 電子線에서 曲線 A와 B는 空洞의

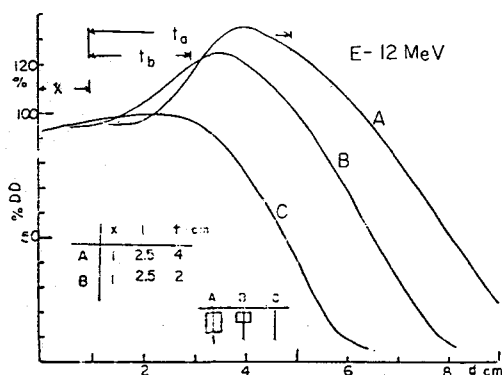


Fig. 13. Perturbation of depth dose with $E=12\text{ MeV}$, $\text{FS } 10 \times 10\text{cm}$, $x=1\text{cm}$, $l=2.5\text{cm}$ for variation of air cavity thickness.

A: $t=4\text{cm}$, B: $t=2\text{cm}$
C: without cavity

크기가 같고 ($2.5 \times 2.5 \times 2\text{cm}^3$) build-up 두께가 각각 0.5와 1.5cm 씩 변함에 따른 深部曲線이며 標準 C曲線보다 約 20% 및 10% 線量이 增加하였고 最大 飛程距離도 約 2cm 延長되었다.

그림 13은 12MeV 電子線에서 空洞의 두께 t 가 각각 4cm, 2cm로 变할 때 深部 線量曲線이며 空洞두께 4cm

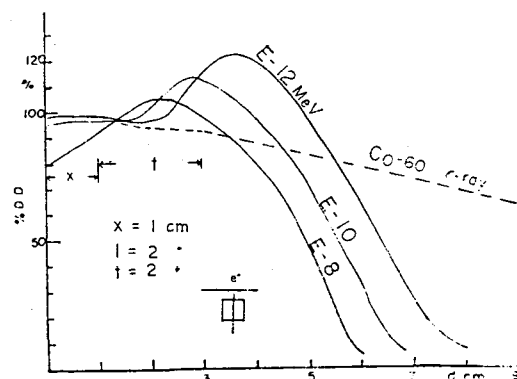


Fig. 14. Comparison of percentage depth dose containing air cavity for 8, 10, 12MeV electrons and cobalt-60 γ ray.

인 A曲線이 標準 C曲線보다 約 30% 線量 增加를 보였다.

그림 14는 表面下 1cm에서 길이가 四方 2cm, 깊이가 2cm인 空洞이 있을 때 12, 10, 8MeV의 電子線과 ${}^{60}\text{Co}$ 갑마선의 深部 百分率를 表示한 것이다.

이 圖表에서 電子線은 10~20%의 線量이 增加하였고 飛程距離도 약 2cm 延長되었으나 ${}^{60}\text{Co}$ 線은 空洞에 거의 影響을 받지 않고 均一한 組織內의 透過現象과 같

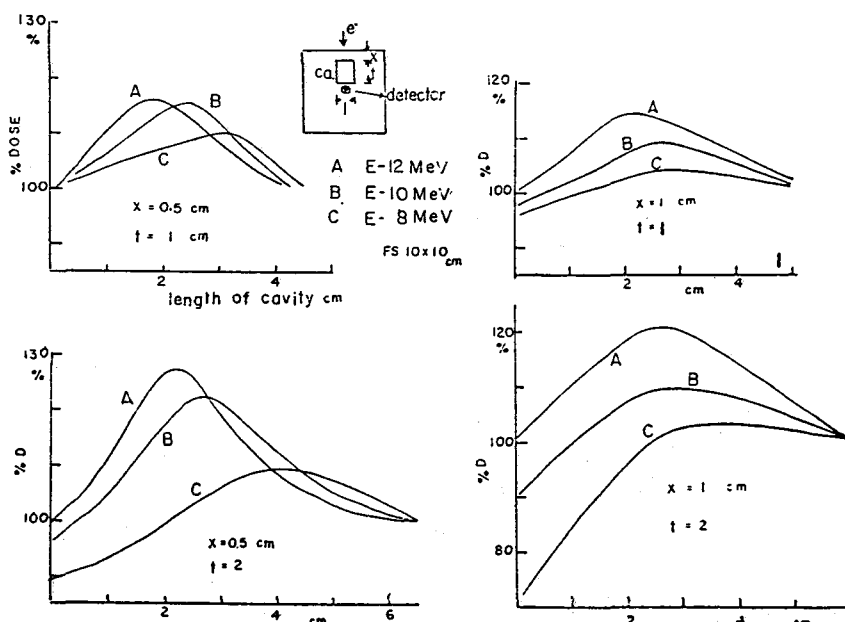


Fig. 15. Percentage doses of the points under various cavities located in tissue equivalent phantom as a function of cavity length for each combination of cavity thickness and build-up layer. Each curve corresponds to a particular energy of the incident electron beam.

이 指數函數의 으로 減少하고 있을 뿐이다.

空洞으로 因한 線量의 最大增加 地點은 主로 空洞내에 位置하지만 그 周圍 細胞組織에도相當한 線量分布를 이루고 있다. 特히 build-up 두께가 0.5cm, 空洞의 깊이가 2cm 内外에서 空洞의 깊이가 2cm 以上일때는 最大線量地點은 空洞 아래 細胞內로 移動한다.

이와 같이 空洞으로 因한 周圍 細胞은 보다 많은 線量을 받게 되며 이는 臨床的으로 重要함으로 이 部分에 對한 線量測定이 必要하다.

그림 15는 表面下 x cm에서 四方의 깊이가 t cm, 깊이가 t cm인 直六面體의 空洞 바로 아래에 测定器를 裝置하고 空洞의 크기를 變化함에 따른 線量變動을 测定한 것이며 曲線 A, B, C는 각각 12, 10, 8 MeV의 電子線에 該當한 深部 百分率이다.

左上의 圖表에서 線量 最高點은 A, B, C가 각각 18, 15, 10%이며 空洞의 깊이가 각각 1.5, 2.5, 3.5cm 일 때가 最大值를 이룬다.

右上은 build-up 두께가 1cm로 길어짐에 따라 A, B, C의 線量 差은 甚하지만 最高點은 空洞의 깊이가 共히 2cm 内外에서 이루어진다.

左下는 $x=0.5$, $t=2$, $l=2$ cm 内外의 空洞에서 線量增加가 比較的 많으며 12MeV에서는 約 30%, 10MeV는 約 20%, 8MeV는 10%씩 增加하였다.

右下는 $x=1$ cm이고 $t=2$ cm 일 때의 最高線量을 表示했으며 A, B, C에 따라 그 差異도 커진다.

V. 考 察

現在 國內에서도 250KeV X-線 또는 ^{60}Co γ -線等 放射線에 依한 肺癌治療는 널리 施行되고 있으나 指數의 ی減弱現象으로 全體의 積分線量이 많기 때문에 放射線治療의 어려움이 보다 많다.

다행히 本 癌센터에서는 數年前부터 積極되어온 LMR-13 線型 加速器에 依해서 8~12MeV의 高 에너지 電子線을 發生시켜 수많은 肺癌患者를 治療하여 왔으며 部位에 따라 좋은 治療效果를 가져왔다.

電子線은 그 自體가 有限의 質量을 갖인 粒子線이므로 에너지와 物質에 따라 物理的特性이相當히 復雜하여 實際應用에 많은 混雜을 주고 있다. 特히 電子線의 散亂과 有限의 飛程距離는 電子線治療의 큰 長點이라고 할 수 있지만 이와같은 特性은 空洞을 많이 包含하고 있는 頭頸部 또는 肺組織을 包含하는 胸部治療에서 標準 線量分布를意外로 많이 變化시키고 있다.

1967年 Boone MLM等은 高 에너지 電子線을 動物의

胸部에 照射하고 生體內에 TLD와 같은 細胞挿入用 测定器를 使用하여 線量變化를 测定하였다. 이때 線量의 增加量은 10~20% 以上이 되었으나 挿入位置와 解剖學의 差異 및 测定誤差로 因하여 测定值의 誤差變動이 매우 甚하였다.

1968年 Karjalainen P等은 生體의 비슷하고 크기가 같은 뼈, 腸 및 空洞等을 製作하여 이를 プリスティン phantom內에 插入하고 高 에너지 電子線을 照射한 後 이를 陰影에 對한 線量을 测定하였으나 空洞의 크기와 模様에 對한 線量增減의 關係를 表示하지 못하였다.

1971年 Starchman DE等은 10~35MeV 電子線을 空洞이 있는 細胞等價物質內에 照射했을 때 線量增加現象은 build-up 두께에相當한 影響이 있음을 發表하였다.

또한 1972年 ICRU Report 21 “電子線의 線量測定”에서도 細胞內 不均等 物質에 依한 線量變動은 臨床治療에 看過할 수 有음을 表明하였다.

이와 같이 電子線治療에서 從來의 光子線단을 생각하고 均一한 電子線의 標準 線量分布만을 使用하여 體內 어느 部位에서나 適用하여 오던 放射線治療擔當者들은 臨床의 ین 面과 直接 生體實驗에서 線量誤差의 變化가 意外로 大한 것을 實感하고 여러가지 實驗을 通하여 纠正하려고 努力하였다.

그러나 電子線의 特異한 性質로 因하여 空洞의 크기와 形態 및 照射에너지에 따른 線量變化를 體系化시키지 못하였다.

著者들은 數年間 皮膚癌, 頭頸部癌 및 乳癌等에 對하여 電子線治療를 遂行하면서 空洞에 對한 線量變化를 體系화할 必要를 느꼈으며 細胞等價인 phantom과 線量測定器具의 導入으로 이를 可能케 하였다.

本 實驗에서는 人體組織과 等價인 Mix D_p 또는 polystyrene을 使用했으며 空洞의 크기와 build-up 두께도 0.5cm에서 5cm까지 變化시키면서 film dosimetry와 TLD 및 體積이 적은 高感度 测定器로서 测定하였다.

VI. 結 論

高 에너지 電子線治療에서 空洞을 包含한 細胞內 線量分布의 變化는 空洞의 크기와 形狀 및 照射 에너지에 따른 函数關係를 갖고 있으며 空洞周圍에 線量集中效果(focusing effect)의 現象이 明白하였다.

이런 現象은 臨床의 으로 重要하며 特히 人體의 口腔, 頭頸部 및 胸壁等에 散在한 空洞周圍의 細胞과 黏膜에 對한 集中 線量增加는 看過할 수 有는 注目할 現象이다.

著者들은 模様과 크기가 解剖學的으로 類似한 空洞을 製作하고 이를 組織等價 phantom 內에 插入하여 高エネルギー電子線을 照射한 後 이들에 對한 測定值을 體系的으로 分析하고 그 矯正值를 圖表로서 表示했으며 다음과 같은一般的 結論을 얻을 수 있었다.

1) 8~12MeV 電子線에서 表面下 0.5cm, 空洞의 크기가 $2 \times 2 \times 2\text{cm}$ 일 때가 比較的 많은 線量變化가 發生되며 그 增加量은 約 10~30%이다.

2) 最大 線量地點은 電子線 에너지가 높고 空洞의 길이가 길수록 空洞아래에 位置한 組織內에 分布된다.

即 8~12MeV 에너지의 最大 線量地點은 build-up 두께가 0.5cm, 空洞의 깊이가 2cm 內外에서 空洞의 길이가 길수록 中心線束을 따라 空洞境界 아래쪽으로 移動한다.

3) 에너지가 增加할수록 最大 線量地點은 空洞의 길이가 짧은 쪽에서 形成된다.

即 空洞의 깊이가 1cm 이고 build-up 두께가 0.5cm 일 때 空洞의 길이에 對한 8, 10, 12MeV 電子線의 最大 線量地點은 각각 3.5, 2.5, 1.5cm에서 形成된다.

4) 空洞周圍의 線量增加는 에너지가 높고 build-up 두께가 얕으며 空洞의 깊이가 깊고 空洞의 길이가 約 1~3cm 일 때 가장 높아진다.

5) 空洞上部組織의 線量分布는 標準線量에 比하여 5~10% 程度의 線量이 減少된다.

6) 空洞으로 因한 電子線의 最大 飛程距離는 거의 空洞의 길이만을 延長된다.

7) 空洞의 길이가 5cm 以上일 때의 線量分布는 空洞이 無限大의 길이를 갖았을 때와 거의 비슷한 分布를 이루고 있다.

以上과 같이 體內 空洞으로 因한 線量分布의 變化는 臨床의인 治療誤差範圍를 複雑 넘으며 集中 線量增加現象이 明白하다.

이와같은 境遇合理的인 矯正值를 使用함으로 放射線治療時 空洞으로 因한 線量誤差를 最小화할 수 있고 또한 選擇된 照射計劃을 遂行할 수 있으며 高エネルギー電子線을 보다 効果的이고 正確하게 利用할 수 있다고 思慮된다.

REFERENCES

- Almond PR, Wright AE, Boone MLM: High energy electron dose perturbations in regions of tissue heterogeneity. Part I. Physical models of tissue heterogeneities. Radiology 88: 1146-1153, Jun. (1967)
- Boone MLM, Jardine JH, Wright AE, et al: High energy electron dose perturbation in regions of tissue heterogeneity. Part I. In vivo dosimetry. Radiology 88:1136-1145, Jun. (1967)
- Brenner M, Karjalainen P, Ryttilä A, et al: The effect of inhomogeneities on dose distributions of high energy electrons. Ann NY Acad Sci 161:233-242, 3 Jul. (1969)
- Karjalainen P, Brenner M, Ryttilä A: Effect of anatomical irregularities on the dose in electron beam therapy. Acta Radiol. (ther) 7:129-140, Apr. (1968)
- Löevinger R, Karzmark CJ, Weissbluth M: Radiation therapy with high energy electrons. I. Physical considerations. 10 to 60 MeV. Radiology 77:906-926, Dec. (1961)
- Laughlin JS: High energy electron treatment planning for inhomogeneities. Brit J. Radiol 38:143-147 Feb. (1965)
- Lochmann, D.J: Therapy in cancer of the head and neck with the betatron electron beam. Am. J. Surg. 98:847-850, Dec. (1959)
- Ovadia J, Uhlmann EM: Isodose distribution and treatment planning with electrons of 20~35 MeV for deep seated tumors. Amer J. Roentgen 84:754-760, Oct. (1960)
- Starchman DE, Chao J.H: Quantitative measurement of the increase in dose adjacent to voids during irradiation of a Lucite Phantom by high-energy electron beams. Radiology 94: 451-452, Feb. (1970)
- Starchman DE, Chao J.H: The importance of build-up thickness in the dose increase produced adjacent to voids in tissueequivalent material exposed to 10~35 MeV electrons. Radiology 98:435-437, Feb. (1971)
- Beattie, JW, Tsien, K.C., Ovadia, J, and Laughlin, JS.: Production and properties of high energy electrons for Therapy. Am. J. Roentgenol, 88:235-250, Aug. (1962)
- Chu, FCH, Nisce, L, and Laughlin, JS.: Treatment of breast cancer with high energy electrons produced by 24 MeV betatron. Radiology 81:871-879 Nov. (1963)

13. Almond, PR, and Boone, MLM.: The effects of sternum upon the central axis depth-dose curve for high energy electrons. Radiology 86: 148-149, Jan. (1966)
14. Veraguth, P.: Clinical Experiments with electron therapy up to 30MeV. Brit. J. Radiol. 34: 152-159, Mar. (1961)
15. Tapley, NDUV, and Fletcher, G.H.: Skin reactions and tissue heterogeneity in electron beam therapy, Part I: Clinical experience. Radiology 84:812-815, May. (1965)
16. Bradshaw AL, and Maysent AM.: Physical aspects of electron therapy using the 15MeV linear accelerator. Brit. J. Radiol. 37:219, (1964)

Abstract

Perturbation of Dose Distributions for Air Cavities in Tissue by High Energy Electron

S. S. Chu, M.S., D. H. Lee, M.D., D. M. Sc.,
B. S. Choi, M.D., D. M. Sc.

*Department of Radiology and Nuclear Medicine,
Yonsei University, College of Medicine, Seoul, Korea.*

The perturbation of dose distribution adjacent to cavities in high energy electron has shown that the percentage of dose increase varies markedly as a function of the build-up layer, the length and thickness of the cavities, and the electron

energy.

The dose distribution showed that cavities similar in size to those encountered in the head and neck measured by industrial film dosimetry and corrected by ionization chambers.

The most increased doses by measuring are resulted in a localized dose of up to 130% of that measured at the depth of maximum dose within a homogeneous tissue equivalent phantom.

The measured values and correction factors of dose perturbation due to air cavities showed in diagrams and would be summarized as follows.

1. In 8~12MeV electron beams, the most marked dose is observed when the build-up layer thickness is 0.5cm and cavity volume is $2\times 2\times 2\text{cm}^3$.
2. The highest dose point is located under cavity when the energy is increased and cavity length is longer.
3. The cavity length at which the maximum percentage dose occurs decreases with increasing energy.
4. The highest percentage cavity doses are obtained when the energy is high, the build-up layer is thin, the thickness of the cavity is large, and the length of the cavity is approximately 1 to 3cm.
5. The doses of upper portion of cavity are less than the standard dose distribution as 5 to 10%.
6. The maximum range of electron beam are extended as much as thickness of cavity.
7. A cavity having a length of 5cm closely approximates a cavity of infinite length.